

07

Маломодовое оптическое волокно, сохраняющее оптические вихри

© А.В. Воляр, Т.А. Фадеева

Таврийский национальный университет им. В.И. Вернадского,
Симферополь, Украина

Поступило в Редакцию 29 июня 2001 г.

Рассмотрена способность оптического волокна с осевыми потерями селективно подавлять фундаментальную HE_{11} -моду, а также поперечно-электрические TE и поперечно-магнитные TM волновые поля, в то время как оптические вихри передаются практически без энергетических потерь. Получены коэффициенты затухания для соответствующих собственных мод и вихрей. Показано, что такое волокно действует как модовый фильтр относительно возбуждающего пучка.

Уникальные свойства оптических вихрей как особой формы светового поля в последнее время оказались в центре внимания многих исследователей [1,2]. Способность оптических вихрей захватывать микрочастицы и передавать им угловой момент имеет не только большое значение для фундаментальной науки, но и позволяет разрабатывать особый класс устройств микроэлектроники и инженерной генетики [3]. Более того, направляемые оптические вихри в маломодовом волокне приобретают новые свойства, не характерные для вихрей в свободном пространстве, но аналогичные свойствам механического гироскопа [4]. Это, в свою очередь, предполагает их использование в однопроходных волоконно-оптических гироскопах, тем самым позволяя отказаться от сложных кольцевых интерференционных схем, вносящих существенные погрешности в процесс измерений.

Вместе с тем известно [5], что направляемые вихри маломодового волокна, так называемые CV -вихри (линейная комбинация четной (e) и нечетной (o) гибридных мод: $CV \Rightarrow HE_{21}^{(e)} \pm iHE_{21}^{(o)}$), при малых внешних возмущениях волокна отдают часть своей энергии другим направляемым модам. В частности, с наибольшей эффективностью конверсия энергии осуществляется в IV -вихрь (линейная комбинация поперечно-магнитной и поперечно-электрической моды: $IV \Rightarrow TE_{01} \pm iTM_{01}$) и в фундаментальную HE_{11} -моду. Следует заметить, что вследствие одинаковой

частоты отсечки для CV -вихря, TE_{01} - и TM_{01} -мод [6] чрезвычайно трудно возбудить в волокне единичный CV -вихрь. Очевидно, что создание датчиков физических величин на основе свойств направляемых оптических вихрей неразрывно связано с проблемой разработки маломодовых оптических волокон, способных поддерживать распространение единичного направляемого оптического вихря.

Целью данной работы явилось исследование свойств оптических волокон, способных селективно подавлять неустойчивый IV -вихрь и фундаментальную HE_{11} -моду, но практически без потерь пропускать CV -вихрь.

Прежде всего, обратим внимание на тот факт, что поперечные компоненты волновой функции фундаментальной HE_{11} -моды имеют экстремум на оптической оси [6], в то время как поперечные компоненты поля CV - и IV -вихрей обращаются в нуль. С другой стороны, продольная компонента CV -вихря также имеет на оси нуль, но абсолютная величина z -компоненты для магнитного поля TE -моды и электрического поля TM -моды на оси максимальна.

Предположим, что в окрестности оптической оси по всей длине волокна введены потери, вызывающие поглощение энергии мод. Кроме того, предположим, что в волокне отсутствует двулучепреломление, вызванное как анизотропией материала, так и деформацией формы поперечного сечения. Тогда можно воспользоваться теоремой взаимности для полей оптического волокна [6].

1. Сначала оценим величину коэффициентов затухания собственных мод. Запишем волновое уравнение для поперечных компонент электрического поля \mathbf{e}_t в волокне без потерь с осесимметричным распределением показателя преломления $n(r)$ [6]. Считаем волокно слабораправляющим и пренебрежем правой частью в волновом уравнении:

$$(\nabla_t^2 + k^2 \tilde{n}^2(r) - \tilde{\beta}^2) \tilde{\mathbf{e}}_t = 0, \quad (1)$$

где $\tilde{\beta}$ — постоянная распространения моды, ∇_t^2 — поперечный оператор Лапласа, k — волновое число. Но если в волокно введены потери, то его показатель преломления становится комплексной величиной: $n^2(r) = n_R^2(r) + i n_I^2(r)$, где n_R и n_I — чисто действительные величины. Кроме того, комплексной величиной становится и постоянная распространения мод: $\beta = \beta_R + i \beta_I$. Теперь волновое уравнение для волокна с потерями можно записать в виде

$$(\nabla_t^2 + k^2 n^2(r) - \beta^2) \mathbf{e}_t = 0. \quad (2)$$

Умножим уравнение (1) скалярно на \mathbf{e}_l^* (значок (*) указывает на комплексное сопряжение), а от уравнения (2) сначала возьмем комплексное сопряжение, затем умножим его скалярно на величину $\tilde{\mathbf{e}}_l$. Далее вычтем эти уравнения и проинтегрируем по бесконечно большой площади поперечного сечения волокна S . Учтем, что $\int_S (\mathbf{e}_l^* \nabla_l^2 \tilde{\mathbf{e}}_l - \tilde{\mathbf{e}}_l \nabla_l^2 \mathbf{e}_l^*) dS = \oint_L (\mathbf{e}_l^* \nabla_l \tilde{\mathbf{e}}_l - \tilde{\mathbf{e}}_l \nabla_l \mathbf{e}_l^*) dl = 0$ за счет ограниченности полей и их первых производных на бесконечности. После выделения действительных и мнимых частей находим:

$$\beta_l \approx \frac{k^2 \int_S n_l^2(r) |\tilde{\mathbf{e}}_l|^2 dS}{2\beta \int_S |\tilde{\mathbf{e}}_l|^2 dS}. \quad (3)$$

При выводе выражения (3) предполагалось, что $n_R \gg n_l$, $\tilde{n} \approx n_R$ и $\tilde{\mathbf{e}}_l \approx \mathbf{e}_l$, что вполне обосновано ввиду малости потерь.

Оценим полученное выражение для волокна с параболическим профилем показателя преломления: $n^2 = n_0^2(1 - 2\Delta R^2)$, где $R = r/\rho$, ρ — характерный радиус волокна, Δ — высота профиля показателя преломления. Тогда модуль волновой функции оптического вихря можно представить в виде [7]: $|\tilde{\mathbf{e}}| = F_l = R^l \exp(-1/2VR^2)$, где V — волноводный параметр. Пусть мнимая часть показателя преломления имеет вид $n_l^2 = n_{0l}^2 \exp(-\alpha R^2)$, где α — характеризует крутизну профиля поглощения. Тогда выражение (3) можно представить в виде

$$\beta_l^{(l)} \approx n_{0l} \frac{k}{2n_0} \left(\frac{V}{V + \alpha} \right)^{l+1}. \quad (4)$$

Откуда следует, что чем больше топологический заряд l оптического вихря, тем слабее он поглощается в волокне. Наибольшие потери имеет основная HE_{11} -мода с $l = 0$.

На рис. 1 приведено семейство кривых, характеризующих зависимость отношения коэффициентов поглощения $\beta_l^{(l)}/\beta_l^{(0)}$ оптического вихря с топологическим зарядом l и основной HE_{11} -моды. Так, если потери оптического вихря с $l = 1$ составляют 2дВ/км, то при коэффициенте профиля поглощения $\alpha = 3 \cdot 10^4$ потери основной моды составят $6 \cdot 10^4$ дВ/км.

Таким образом, потери, введенные в сердцевину волокна так, что они сосредоточены в области оптической оси, вызывают селективное

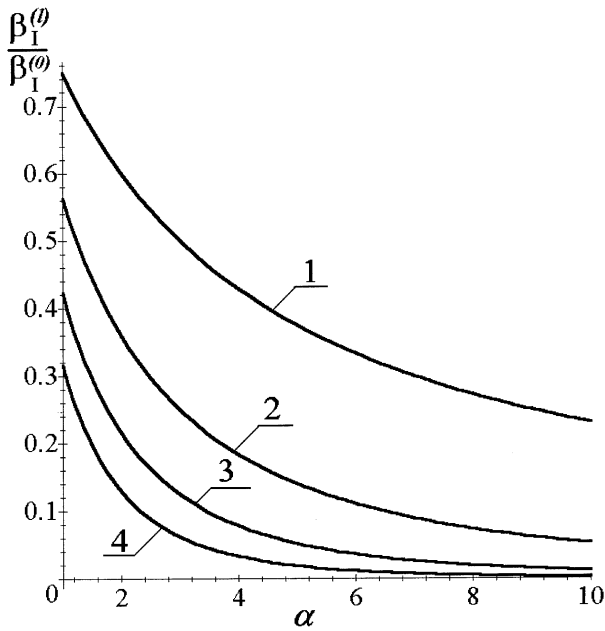


Рис. 1. Кривые зависимости отношения мнимых частей постоянных распространения оптического вихря и HE_{11} -моды $\beta_1^{(l)}/\beta_1^{(0)}$ от коэффициента α профиля мнимой части показателя преломления n_1^2 : 1 — $l = 1$; 2 — $l = 2$; 3 — $l = 3$; 4 — $l = 4$.

поглощение энергии основной HE_{11} -моды и практически не влияют на энергию оптического вихря. Однако из выражения (3) следует, что как CV -вихрь, так и TE - и TM -моды будут иметь одинаковые потери, что, вообще говоря, не верно. Очевидно, что метод, посредством которого было получено выражение (3), не позволяет решить такую проблему. Дело в том, что в выше приведенных выкладках мы пользовались представлением о слабонаправляющих волокнах, где пренебрегается продольными компонентами поля, которые как раз и отвечают за поглощение TE - и TM -мод. Чтобы учесть этот эффект, необходимо вернуться к исходным уравнениям.

2. Свойство трансляционной инвариантности полей оптического волокна позволяет записать независимые уравнения для продольных и

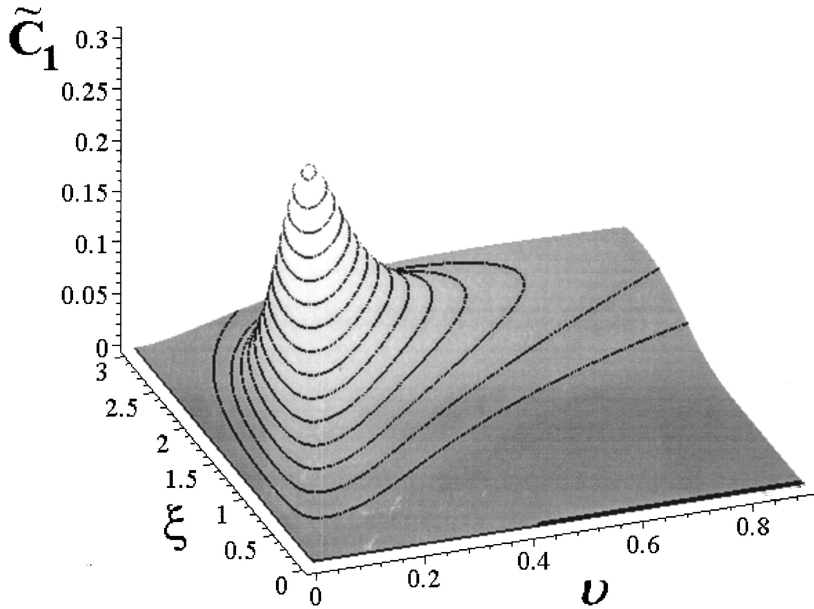


Рис. 2. Зависимость нормированного коэффициента возбуждения \tilde{C}_1 для оптического вихря с $l = 1$ от угла падения исходного пучка ϑ и отношения радиусов ξ исходного пучка и направляемого вихря.

поперечных компонент поля [6]. В частности,

$$\{\nabla_t^2 + k^2 n^2(r) - \beta^2\} e_z = -i\beta \mathbf{e}_t \nabla_t \ln n^2(r),$$

$$\{\nabla_t^2 + k^2 n^2(r) - \beta^2\} h_z = (\nabla_t h_z - i\beta \mathbf{h}_t) \nabla_t \ln n^2(r).$$

Для слабонаправляющего волокна можно пренебречь правыми частями в этих уравнениях. Тогда сразу приходим к уравнению (2), в котором следует заменить \mathbf{e}_t либо на e_z , либо на h_z . Кроме того, следует помнить, что оператор ∇_t^2 в данном случае является скалярным. Тогда уравнения для e_z (TM -мода) и для h_z (TE -мода) после преобразований, приведенных в разделе 1, дают выражение для мнимой части постоянной

распространения:

$$\beta_l^{\left\{ \begin{smallmatrix} TM \\ TE \end{smallmatrix} \right\}} \approx \frac{k^2}{2\tilde{\beta}} \int_S n_l^2(r) \left\{ \begin{smallmatrix} |\tilde{e}_z|^2 \\ |\tilde{h}_z|^2 \end{smallmatrix} \right\} dS / \int_S \left\{ \begin{smallmatrix} |\tilde{e}_z|^2 \\ |\tilde{h}_z|^2 \end{smallmatrix} \right\} dS. \quad (5)$$

Функция профиля продольных компонент TE - и TM -мод имеет вид $G_1 = \frac{dF_1}{dR} + \frac{1}{R}F_1 = (1 - VR^2) \exp(-\frac{1}{2}VR^2)$. Подставляя ее в (5), находим выражение

$$\beta_l^{(TE)} = \beta_l^{(TM)} \approx n_{0l} \frac{k}{2n_0} \left(\frac{V}{V + \alpha} \right), \quad (6)$$

которое по форме совпадает с выражением (4) для $l = 0$. Следовательно, HE_{11} -, TE - и TM -моды имеют одинаковые потери, которые значительно превышают потери CV -вихрей.

Из полученных результатов вытекает, что, каким бы способом не возбуждалось оптическое волокно, имеющее осевые потери энергии, на его выходе основная энергия будет сосредоточена в направляемом оптическом вихре.

3. Оценим эффективность возбуждения CV -вихрей в параболическом волокне правоциркулярно поляризованным фундаментальным гауссовым пучком, ось которого составляет угол ϑ с осью волокна. Воспользуемся выражением для коэффициентов возбуждения мод по мощности из [6]:

$$C_l = \frac{\rho^2 n_0}{2\pi} \sqrt{\frac{\epsilon_0}{\mu_0}} \left| \int_0^{2\pi} d\varphi \int_0^\infty \Psi_x^{(in)} F_l(R) \exp(\pm l\varphi) R dR \right|^2 / \int_0^\infty F_l^2(R) R dR, \quad (7)$$

где $\Psi_x^{(in)} = \exp(-\frac{r^2}{w^2}) \exp(ik\vartheta \sin \varphi)$ — x -компонента фундаментального гауссова пучка в перетяжке $z = 0$, w — радиус перетяжки. В связи с малостью угла падения x - и y -компоненты будут возбуждаться с одинаковой эффективностью, поэтому достаточно оценить только одну из них. Для CV -вихрей получаем выражение

$$\tilde{C}_l = \frac{4}{l!} (kn_0 w \vartheta)^{2l} \left[\frac{\xi}{1 + \xi^2} \right]^{2(l+1)} \exp \left\{ -\frac{(kw\xi\vartheta)^2}{1 + \xi^2} \right\}, \quad (8)$$

\tilde{C}_l — нормированная величина C_l к мощности падающего пучка, $\xi = \tilde{\rho}/w$, $\tilde{\rho} = \rho/V$. На рис. 2 представлены зависимости \tilde{C}_l от

угла возбуждения ϑ и отношения радиуса моды к радиусу пучка ξ для CV -вихря с единичным топологическим зарядом $l = 1$. Полученное семейство кривых имеет максимум при согласованных радиусах моды и пучка ($\xi = 1$) для оптимального угла $\vartheta^{(opt)} = \sqrt{1 + \xi^2} / (kw\xi)$. При расчете принималось $V = 4$ и учитывалось, что пучок направлен из среды с $n = 1$. Для этих значений оптимальный коэффициент возбуждения будет $C_1^{(opt)} \approx 0.3$. Следует отметить, что гауссов пучок с одинаковой эффективностью возбуждает вихри как с $l + 1$, так и с $l = -1$. Но оптический вихрь с правой круговой поляризацией, но отрицательным топологическим зарядом является неустойчивым IV -вихрем, который в процессе распространения затухает. Следовательно, оптимальный коэффициент возбуждения будет в половину меньше $C_1^{(opt)} \approx 0.15$.

Таким образом, оптическое волокно с осевыми потерями не только может сохранять направляемый оптический вихрь, но и действует как модовый фильтр по отношению к возбуждающему полю.

Авторы благодарят К.Н. Алексеева за полезную дискуссию.

Список литературы

- [1] *Nay J.F.* Natural Focusing and Fine Structure of Light. Caustics and Wave Dislocations. Bristol and Philadelphia: Institute of Physics Publishing, 1999. 328 p.
- [2] *Soskin M.S., Vasnetsov M.V.* // Horizons in World Physics / Ed. by M. Vasnetsov and K. Staliunas. 1999. V. 228. P. 1–35.
- [3] *Allen L., Padgett M.J., Babiker M.* // Progress in optics. 1999. V. XXXIX. P. 291–372.
- [4] *Volyar A.V., Fadeyeva T.A., Shvedov V.G.* // Proceedings of SPIE. 2000. V. 4403. P. 155–163.
- [5] *Воляр А.В., Фадеева Т.А.* // Оптика и спектроскопия. 1998. Т. 85. В. 2. С. 295–303.
- [6] *Снайдер А., Лав Дж.* Теория оптических волноводов. М.: Радио и связь, 1987. 656 с.
- [7] *Воляр А.В., Жилайтис В.З., Шведов В.Г.* // Письма в ЖТФ. 1998. Т. 24. В. 20. С. 87–93.